

ATAS DO
5º CONGRESSO NACIONAL DE BIOMECÂNICA
*PROCEEDINGS OF THE
5TH PORTUGUESE CONGRESS ON BIOMECHANICS*



COMISSÃO ORGANIZADORA / *ORGANIZING COMMITTEE*

Renato M. Natal Jorge, FEUP
João Manuel R.S. Tavares, FEUP
Jorge Américo de Oliveira Pinto Belinha, IDMEC-FEUP
Marco Paulo Lages Parente, IDMEC-FEUP
Pedro Alexandre Lopes de Sousa Martins, IDMEC-FEUP

PATROCÍNIOS E APOIOS INSTITUCIONAIS / *SPONSORSHIP AND INSTITUTIONAL SUPPORT*



COMISSÃO CIENTÍFICA / *SCIENTIFIC COMMITTEE*

Adélia Sequeira, IST-UTL
António Completo, Univ de Aveiro
António Silva, UTAD
António Torres Marques, FEUP
António Veloso, FMH-UTL
Arcelina Marques, ISEP-IPP
Aurélio Faria, UBI
Cristina Mateo Martinez, IDMEC
Eduardo Borges Pires, IST-UTL
Elza Fonseca, IPB
Fernanda Gentil, IDMEC, ESTSP-IPP
Fernando Simões, IST-UTL
Filipa Manuel Machado Sousa, FADEUP-UP
Gilberto Costa, FMUP-UP
Helena Moreira, UTAD
João Folgado, IST-UTL
João Levy Melancia, FML-Univ Lisboa
João MCS Abrantes, Univ Lusófona
João Paço, Hospital CUF, FML-Univ Lisboa
João Paulo Flores Fernandes, Univ Minho
João Paulo Vilas-Boas, FADEUP-UP
João Santos Baptista, FEUP-UP
Joaquim Silva Gomes, FEUP-UP
Jorge Ambrósio, IST-UTL
José Alberto Ramos Duarte, FADEUP-UP
José Carlos Reis Campos, FMDUP-UP
José Manuel Casanova, FM-Univ Coimbra
José Oliveira Simões, Univ de Aveiro
Kostas Gianikellis, Univ de Extremadura, Espanha
Leandro Machado, FADEUP-UP
Lídia Carvalho, Univ de Aveiro
Luís Roseiro, ISEC-IPC
Luisa Sousa, FEUP-UP
Manuel Gutierres, FMUP-UP
Mário Augusto Vaz, FEUP-UP
Mario Forjaz Secca, FCT, Univ Nova de Lisboa
Miguel Tavares da Silva, IST-UTL
Miguel Velhote Correia, FEUP-UP
Paulo Piloto, IPB
Paulo Rui Fernandes, IST-UTL
Ronaldo Calçada Dias Gabriel, UTAD
Rui Barreiros Ruben, IPL
Rui Lima, IPB
Rui Miranda Guedes, FEUP-UP
Santos Rubim, ESTSP-IPP

ÍNDICE

ANÁLISE DO COMPORTAMENTO DA ACELERAÇÃO TIBIAL ASSOCIADO AO CENTRO DE PRESSÃO PLANTAR NO CHUTE DE JOGADORES DE FUTEBOL DE CAMPO. <i>SILVA, Marcelo Guimarães, HIRATA, Tamotsu</i>	1
THE ROLE OF POROELASTICITY ON THE BIOMECHANICS OF THE INTERVERTEBRAL DISC: A FINITE ELEMENT STUDY <i>André Castro, Paulo Flores, António Completo e J. L. Alves</i>	7
ESTUDO DO ESTÍMULO MECÂNICO EM CONSTRUÇÕES CELULARES DE AGAROSE <i>Joana Pereira, António Completo, António Ramos, Carlos Relvas e José Simões</i>	13
ARTICULAÇÃO RADIOCARPAL – ESTUDO NUMÉRICO DE UM MODELO ESPECÍFICO DE PACIENTE <i>Joana Pereira, António Completo, António Ramos, Carlos Relvas e José Simões</i>	17
SIMULAÇÃO NUMÉRICA DE UM DISPOSITIVO GERADOR DE PULSOS MECÂNICOS PAR A INDUÇÃO DO AUMENTO DA DENSIDADE ÓSSEA <i>A. I. Arroyave Guzmán e R. Gonzalez Lima</i>	23
ANÁLISE CINEMÁTICA DA MARCHA NO 3.º TRIMESTRE DE GRAVIDEZ E PÓS-PARTO <i>Marco Branco, Rita Santos Rocha, Liliana Aguiar, Filomena Vieira e António Veloso</i>	29
RELAÇÃO DAS FORÇAS REATIVAS DO APOIO DURANTE O CAMINHAR E A ATIVIDADE FÍSICA EM MULHERES PÓS-MENOPÁUSICAS <i>João P.C. Fonseca, Ronaldo E.C.D. Gabriel, João Manuel R. S. Tavares, Florbela R. Aragão, Adriana S. Leite, José Aurélio M. Faria e Maria Helena R. Moreira</i>	33
FORÇAS REATIVAS DO APOIO DURANTE O CAMINHAR E DENSIDADE MINERAL ÓSSEA DO CALCÂNEO EM MULHERES PÓS-MENOPÁUSICAS <i>Marisa Pereira, Ronaldo Gabriel, Florbela Aragão, João Fonseca, Adriana Leite, Aurélio Faria e Helena Moreira</i>	39
THE HARMONIC MODE OF THE LEG SPRING <i>Wangdo Kim, Antonio P. Veloso, Filípa João,</i>	45
BONE IMPLANT MANUFACTURE FROM LYOPHILIZED HUMAN BONE <i>F.A. Rojas, L.M. Bernal</i>	47
ESTUDO BIOMECÂNICO DO DIRECCIONAMENTO DAS FIBRAS DA CAMADA CENTRAL DA MEMBRANA TIMPÂNICA DO OUVIDO MÉDIO <i>Carolina Garbe, Fernanda Gentil, Carla Santos, Marco Parente, Renato Natal Jorge</i>	53
UTILIZAÇÃO DE TÉCNICA TERMOGRÁFICA, PARA DETERMINAÇÃO DE DESEQUILÍBRIOS MUSCULARES, DURANTE O TRANSPORTE DE LAPTOP EM MOCHILA SUPORTADA POR UM ÚNICO OMBRO <i>João Rocha, Luís Queijo e Jorge Santos</i>	59
COMPORTAMENTO BIOMECÂNICO E ANÁLISE DE RESISTÊNCIA MECÂNICA DE VIDA ÚTIL DE ELEMENTOS ESTRUTURAIS PARA PRÓTESES DENTÁRIAS <i>Cincio, R. L., Pastoukbov, V.</i>	63
FROM MACRO TO SUBDOMAIN MODELLING AND NUMERICAL SIMULATION OF THE BIOMECHANICAL BEHAVIOUR OF NATIVE CARTILAGE <i>S. Cortez, A. Completo e J.L. Alve</i>	67
CONTRIBUIÇÃO DOS MOMENTOS DE FORÇA DO MEMBRO INFERIOR NO SALTO UNILATERAL (HOPPING) <i>Filípa João, António Veloso, Sílvia Cabral, Vera Moniz-Pereira e Thomas Kepple</i>	73

MECANISMOS DE ORIENTAÇÃO E DE BLOQUEIO PARA ANDARILHOS COM RODAS <i>Ana Fartaria, Carlos Campos e Jorge Siopa</i>	79
INFLUÊNCIA DO POSICIONAMENTO NA QUALIDADE DOS MOVIMENTOS DE ALCANÇAR E TRANSPORTAR EM INDIVÍDUOS COM ESCLEROSE MÚLTIPLA <i>Ana Pereira, Ângela Fernandes, Helena Sousa, Rubim Santos</i>	85
AVALIAÇÃO POSTURAL POR FOTOGAMETRIA EM ATLETAS DA JUVENTUDE VIDIGALENSE <i>Inês Domingues, Carlos Campos e Jorge Siopa</i>	91
INFLUÊNCIA DE MODELOS CINEMÁTICOS NOS MOMENTOS DE FORÇA DOS MEMBROS INFERIORES GERADOS POR IDOSOS DURANTE A LOCOMOÇÃO <i>Vera Moniz-Pereira, Sílvia Cabral, Filomena Carnide e António P. Veloso</i>	97
ANÁLISE DE COMPONENTES ACETABULARES COM ABAS <i>Rui B. Ruben, Diogo Teixeira e Nuno M. Alves</i>	103
SEGMENTAÇÃO DO FÉMUR COM RECURSO A CONTORNOS ACTIVOS PARA APOIO À ARTROPLASTIA TOTAL DA ANCA <i>Diogo Ferreira de Almeida, Rui B. Ruben, João Folgado e Paulo R. Fernandes</i>	107
DESENVOLVIMENTO DE UM SIMULADOR DA ARTICULAÇÃO TEMPOROMANDIBULAR <i>R. J. Duarte, A. Ramos, M. Mesnard, H. R. Marques, C. Relvas, A. Completo, J.A. Simões</i>	113
ESTUDO NUMÉRICO DA FIXAÇÃO DE IMPLANTE TEMPOROMANDIBULAR, INFLUÊNCIA DO NÚMERO DE PARAFUSOS <i>R. J. Duarte, A. Ramos, M. Mesnard, C. Relvas, A. Completo, J.A. Simões</i>	117
A INFLUÊNCIA DE UM CAMPO MAGNÉTICO ESTÁTICO NO ESCOAMENTO SANGUÍNEO COM NANOPARTÍCULAS MAGNÉTICAS <i>N. Pereira, M. Mujika, S. Arana, T. Correia, A. M. T. Silva, H. T. Gomes, P. J. Rodrigues, R. Lima</i>	123
A NOVEL METHODOLOGY FOR MEASUREMENT OF THE INTRADISCAL PRESSURE AND HEIGHT DISC VARIATION OF INTERVERTEBRAL DISC UNDER COMPRESSION <i>Ângelo Araújo; Nuno Peixinho, António Pinho & J.C.P. Claro</i>	129
EFFECT OF THE SINTERING CYCLE ON THE PROPERTIES OF ALUMINA/LAS DENTAL CERAMIC <i>M. Guedes, D. Arteiro, M. I. Delgado and A. C. Ferro</i>	135
METODOLOGIA PARA AVALIAÇÃO BIOMECÂNICA DA COLUNA VERTEBRAL PRÉ E PÓS VERTEBROPLASTIA <i>Gabriela Guevara, Elza M. M. Fonseca e Luísa M. S. Barreira</i>	141
MÉTODO DE OTIMIZAÇÃO GLOBAL NO ESTUDO DA CINEMÁTICA DA MARCHA NA MULHER GRÁVIDA <i>Liliana Aguiar, António P. Veloso, Rita Santos-Rocha, Marco Branco e Filomena Vieira</i>	147
REMODELAÇÃO DO TECIDO ÓSSEO DO OSSO DA MANDÍBULA UTILIZANDO UM MÉTODO NUMÉRICO SEM MALHA <i>J. Belinba, L.M.J.S. Dinis e R.M. Natal Jorge</i>	153
ANÁLISE DO INCISIVO CENTRAL DO MAXILAR USANDO UM MÉTODO SEM MALHA <i>S.F. Moreira, J. Belinba, L.M.J.S. Dinis e R.M. Natal Jorge</i>	159
ANÁLISE DE UM IMPLANTE DENTÁRIO UTILIZANDO UM MÉTODO SEM MALHA <i>J. Rafael Andrade, J. Belinba, L.M.J.S. Dinis e R.M. Natal Jorge</i>	165
REMODELAÇÃO NUMÉRICA DO TECIDO ÓSSEO DEVIDO À APLICAÇÃO DE IMPLANTES DENTÁRIOS <i>A.S. Ferreira, J. Belinba, L.M.J.S. Dinis e R.M. Natal Jorge</i>	171

BLOOD FLOW STUDY IN A STENOSED CAROTID BIFURCATION <i>Lúisa C. Sousa, Catarina F. Castro, Carlos C. António, Rui Chaves, Rosa Santos, Pedro Castro and Elsa Azevedo</i>	177
FROM MEDICAL IMAGE TO 3D ENTITIES CREATION <i>Diogo, S G; Claro, J C P</i>	181
VARIAÇÃO DA DENSIDADE MINERAL ÓSSEA EM FUNÇÃO DA MASSA CORPORAL NO COLO DO FÊMUR E COLUNA VERTEBRAL <i>Jairson C. Dinis, Ana I. Pereira, Elza M. M. Fonseca</i>	187
DETECÇÃO E CLASSIFICAÇÃO DE POSTURAS, CONFORME A METODOLOGIA OWAS, USANDO CÂMERAS DE PROFUNDIDADE <i>Karoline Viana Leão, Anselmo Cardoso de Paiva, Aristóфанes Correa Silva e Ivana Marcia Oliveira Maia</i>	193
EFEITO DE UM PROGRAMA DE EXERCÍCIOS SEGUNDO PILATES EM INDIVÍDUOS COM ASMA CONTROLADA – CONTROLO MOTOR/FUNÇÃO VENTILATÓRIA <i>António Mesquita Montes, Paulo Carvalho, Daniel Costa, Camilo Moreira, Pedro Monteiro e Manuel Rubim Santos</i>	197
AUXILIARES DE MARCHA E FORÇAS DE REACÇÃO AO SOLO <i>C. Melo, C. Crasto, A. Montes e R. Santos</i>	205
A INFLUÊNCIA DA IMOBILIZAÇÃO DO JOELHO NA CINEMÁTICA DO MEMBRO CONTRALATERAL <i>Mariana Santos, Alexandre Lopes, Inês Mesquita e Carlos Crasto</i>	211
METODOLOGIA PARA DETERMINAÇÃO DA NECROSE TÉRMICA POR FURAÇÃO NUM MODELO 3D DE UMA MANDÍBULA HUMANA <i>Diana C. A. Monteiro, Elza M. M. Fonseca, Luísa M. S. Barreira, Kelly Magalhães</i>	217
AVALIAÇÃO DA RESISTÊNCIA ÓSSEA DA VÉRTEBRA L3 EM DIFERENTES PACIENTES DO GÉNERO FEMININO <i>Sónia F. D. Silva, Elza M. M. Fonseca e Luísa M. S. Barreira</i>	223
INFLUÊNCIA DA VELOCIDADE DE PENETRAÇÃO NO LIMAR DA DOR À COMPRESSÃO <i>Micaela Rodrigues, Vera Bernardo, Paula Silva and Célio Figueiredo-Pina</i>	229
ESTIMATION OF CADAVERIC RIGIDITY – MODIFICATIONS OF THE MECHANICAL PROPERTIES <i>F. Ferreira, P. Martins e R.N. Jorge</i>	235
BIOMECHANICAL MODELS FOR HUMAN GAIT ANALYSES USING INVERSE DYNAMICS FORMULATION <i>Pedro Moreira, Urbano Lujrís, Javier Cuadrado, Paulo Flores</i>	241
ESTUDO CASO DA EFICIÊNCIA MECÂNICA NA EXECUÇÃO DO TOQUE AO LADO, DA GINÁSTICA AERÓBICA, NUM PRATICANTE INEXPERIENTE <i>Cristiana Mercê, Andreia Raposo, Carolyne Silva, Lílíana Faúlba, Ana Conceição, Hugo Louro, Vítor Milbeiro e Marco Branco</i>	247
FINITE ELEMENT SIMULATION OF DAILY ACTIVITIES HELD BY THE INTERVERTEBRAL DISC <i>Hélder Correia, André Castro, J.C.P. Claro e J.L. Alves</i>	253
ARTICULAÇÃO DA ANCA: MODELO BIOMECÂNICO BASEADO NA ANATOMIA ESPECÍFICA DO PACIENTE <i>D.G. Tavares, J. Lourenço, F.M.F. Simões, E.B. Pires e P.A. Rego</i>	259
MODELLING OF A PROSTHETIC HAND FEATURING INDIVIDUAL GRIP ON EACH ONE OF THE FIVE FINGERS <i>Joana Rosa, Joana Sousa and R. Baptista</i>	265
VALIDAÇÃO DE ELÉTRODOS TÊXTEIS PARA MEDIÇÃO DE ELETROMIOGRAFIA <i>Pedro Fonseca, Márcio Borgonovo-Santos, André Catarino, João Paulo Vilas-Boas, Miguel Velbote Correia</i>	271

ANÁLISE CINEMÁTICA 3D DA TÉCNICA FOSBURY FLOP <i>Paulo Oliveira, Rui B. Ruben e Pedro Morouço</i>	277
LOWER LIMB KINEMATICS OF TRANSFEMORAL AMPUTEES' GAIT: A PRINCIPAL COMPONENT ANALYSIS APPROACH <i>Denise Soares, Marcelo Castro, Emilia Mendes and Leandro Machado</i>	281
UNDERSTANDING THE ROLE OF THE ANNULUS FIBROSUS IN THE BIOMECHANICS OF THE INTERVERTEBRAL DISC <i>Clara Cavalcanti, J. L. Alves</i>	285
OFF INFLUENCES THE NUMBER OF MICROTUBULES AT THE BASE OF PRIMARY CILIA <i>Lina C. Espinha, David A. Hoey, Paulo R. Fernandes, Hélder C. Rodrigues e Christopher R. Jacobs</i>	291
ANÁLISE AO DESEMPENHO DE ATLETAS NO LANÇAMENTO DO DARDO <i>Diogo Correia, João Matias, Nuno André, Paulo A. P. Gameiro e Rui B. Ruben</i>	295
FABRICAÇÃO DE MICROCANAIS UTILIZANDO O MÉTODO DE XUROGRAFIA: VISUALIZAÇÃO DA CAMADA LIVRE DE CÉLULAS <i>E. Pinto, D. Pinho, D. Bento, T. Correia, V. Garcia, R. Dias, J. M. Miranda, R. Lima</i>	301
ESTIMAÇÃO E ANÁLISE AUTOMÁTICA DE PARÂMETROS DA POSTURA ERGONÔMICA UTILIZANDO SENSORES DE PROFUNDIDADE <i>Darlan Quintanilha, Aristóфанes Silva e Anselmo Paiva</i>	307
ANÁLISE BIOMECÂNICA DAS FRATURAS DO FÉMUR: ESTUDO PRELIMINAR DE UMA HASTE INTRAMEDULAR BLOQUEADA <i>Maria G. A. Fernandes, Daniel N. Rocha, Jorge V. L. Silva, Elza M. M. Fonseca, Marcos P. Barbosa</i>	313
TRANSFEMORAL AMPUTEES' GAIT: PRINCIPAL COMPONENT ANALYSIS OF THE KNEE MOMENTS <i>Denise Soares, Marcelo Castro, Emilia Mendes and Leandro Machado</i>	319
DESENVOLVIMENTO DE PLATAFORMAS DE FORÇAS EXTENSOMÉTRICAS SUBAQUÁTICAS PARA APLICAÇÃO EM NATAÇÃO DESPORTIVA <i>Karla de Jesus, Hélio Roesler, Kelly de Jesus, Luis Mourão, Ricardo J. Fernandes, Mário Vaz, João Paulo Vilas-Boas</i>	323
DESENVOLVIMENTO DE METODOLOGIA PARA AVALIAÇÃO DA MARCHA EM DOENTES COM ORTÓTESES TORNOZELO-PÉ <i>C. Pessoa, F. Martins, I. Fonseca, L. Roseiro, A. Almeida F. Carvalho</i>	329
ANÁLISE DO COMPORTAMENTO MECÂNICO DOS DISCOS INTERVERTEBRAIS DA REGIÃO LOMBAR QUANDO SUJEITOS A CARGAS VERTICAIS <i>Bebiana Mendonça, João Ribeiro, Mário Vaz e H. Lopes</i>	335
MEASUREMENT OF RED BLOOD CELLS DEFORMATION INDEX IN A HYPERBOLIC MICROCHANNEL <i>Vera Faustino, Diana Pinho, Tomoko Yaginuma, Ricardo C. Calbelha, Geyong Man-Kim, Sergio Arana, Rui Lima, Isabel C.F.R. Ferreira and Mónica S.N. Oliveira</i>	341
PESQUISA DA CONFIGURAÇÃO ÓTIMA DA PRÓTESE ARTERIAL USANDO ALGORITMOS GENÉTICOS <i>Linda V. S. Alves, Catarina F. Castro e Luísa C. Sousa</i>	345
DEVELOPMENT OF AN EXPERIMENTAL APPARATUS TO DETERMINE IMPACT RESPONSE OF ARTICULAR CARTILAGE <i>Janeite Alves, Pedro Correia, Nuno Peixinho e Paulo Flores</i>	349
AVALIAÇÃO DAS ALTERAÇÕES FISIOLÓGICAS DE VÁRIOS MÚSCULOS DA PERNA QUANDO SUBMETIDOS A EXERCÍCIO FÍSICO INTENSO COM A TÉCNICA BOLD <i>Ana Rita Justo Pereira, José Nuno Alves, Sérgio Saraiva Alves, Filipa João, Mário Forjaz Secca e António Veloso</i>	355

CELL-FREE LAYER MEASUREMENTS IN A BIFURCATION MICROCHANNEL: COMPARISON BETWEEN A MANUAL AND AUTOMATIC METHODS <i>David Bento, Diana Pinbo, Elmano Pinto, Tomoko Yaginuma, Teresa Correia, José Lima, Ana I. Pereira, Carla S. Fernandes, Ricardo Dias, Rui Lima</i>	359
AVALIAÇÃO DAS ALTERAÇÕES FISIOLÓGICAS DOS MÚSCULOS DA PERNA POR IRM ATRAVÉS DE T2 <i>José Nuno Alves, Ana Rita Justo Pereira, Sérgio Saraiva Alves, Filipa Oliveira João, Mário Forjaz Secca e António Prieto Veloso</i>	363
DISPOSITIVO PARA ENSAIO DE DESGASTE EM PRÓTESE TOTAL DE QUADRIL <i>Michel Haddad, Mauro Pedro Peres e Marcelino Pereira Nascimento</i>	367
FABRICO DE UMA PRÓTESE FEMORAL POR MAQUINAGEM CNC NUMA FRESADORA DE 3 EIXOS <i>Pedro Ferreira, Fernando Simões, Carlos Relvas e António Ramos</i>	371
ANÁLISE DE PONTE SOBRE IMPLANTES DENTÁRIOS USANDO UM MÉTODO SEM MALHA <i>H.M.S. Duarte, J. Belinha, L.M.J.S. Dinis e R.M. Natal Jorge</i>	377
ESTUDO DAS PROPRIEDADES MECÂNICAS DO CIMENTO-EM-CIMENTO NA REVISÃO DA ARTROPLASTIA DA ANCA <i>Nuno Jorge, Luís Roseiro, Fernando Simões e Pedro Carvalhais</i>	379
ENHANCED VELOCITY OF RED BLOOD CELLS IN HIGHLY BRANCHED VESSELS: INFLUENCE OF THE VESSELS DIAMETER <i>Bianca Pires, Luís Pimparel, Diana Pinbo, Rui Lima and Ricardo Dias</i>	385
DESENVOLVIMENTO E VALIDAÇÃO EXPERIMENTAL DE UMA PRÓTESE PARA CICLISTAS COM AMPUTAÇÃO TRANSTIBIAL <i>P. Ferreira, L. Roseiro, V. Lopes, I. Costa, J. Almeida e Telmo Pinão</i>	391
BIOMECÂNICA DA COLUNA CERVICAL: INFLUÊNCIA DOS LIGAMENTOS <i>P. C. Fernandes, J. Folgado e P. R. Fernandes</i>	397
AUTOMATIC CALCULATION OF THE SKIN'S LINES OF NON-EXTENSION AT THE ANKLE JOINT <i>Sara P. Marreiros, Ana R. Domingues, Jorge M. Martins, Miguel T. Silva and Dava J. Newman</i>	401
DESENVOLVIMENTO DE UM MICRODISPOSITIVO BIOMÉDICO PARA A SEPARAÇÃO DE CÉLULAS SANGUÍNEAS <i>Susana Novais, Diana Pinbo, Ana I. Pereira, Maite Mujika, Sergio Arana, Rui Lima</i>	407
THERMO-MECHANICAL BEHAVIOR OF TRANSTIBIAL PROSTHESIS INTERFACES: INFLUENCE ON CORRECT PROSTHETIZATION <i>Adriana Cavaco, A. Ramalho, Sandra Pais and Luísa Durães</i>	411
COMPARAÇÃO DE CRIANÇAS COM E SEM JOELHOS VALGOS, PRATICANTES DE HÓQUEI EM PATINS, UTILIZANDO SISTEMAS DE ANÁLISE DE MOVIMENTO <i>Nuno M.J. Oliveira, Rubim Santos, M.A.P. Vaz e M.A. Marques</i>	417
MODELING AND ANALYSIS OF AN ANKLE-FOOT ORTHOSIS (AFO) USING MULTIBODY METHODOLOGIES <i>P. Ferreira, F. G. Flores, P. Flores, M. Siebler and A. Kecskeméthy</i>	423
ANÁLISE CINEMÁTICA DA TÉCNICA DE CRAWL EM DIFERENTES VARIANTES DE UM PROTOCOLO INCREMENTAL E INTERMITENTE PARA OBTENÇÃO DO VO2MÁX <i>Kelly de Jesus, Karla de Jesus, João Paulo Vilas-Boas e Ricardo J. Fernandes</i>	429
PROJETO, CONSTRUÇÃO E VALIDAÇÃO EXPERIMENTAL DE UM PEDAL INSTRUMENTADO PARA BICICLETA <i>Vitor Lopes, Luís Roseiro, Pedro Ferreira, Inácio Costa e José Almeida</i>	435

CONSIDERAÇÕES HIDRODINÂMICAS DE VÁLVULAS NEUROLÓGICAS DE DERIVAÇÃO LIQUÓRICA <i>Camila Bim, Edson Del Rio Vieira, Sérgio Said Mansur, Marcos Pinotti, José Ricardo Camilo e Angelo Luiz Maset</i>	441
IMAGE FILTERING, CONTRAST ENHANCEMENT AND DEFORMATION ANALYSIS OF COMPLEX ANATOMICAL CONDUITS AND MICROCIRCULATION EXPERIMENTS. <i>Ana J. João, Alberto M. Gambaruto e Adélia Sequeira</i>	445
ÚLTIMOS AVANÇOS TECNOLÓGICOS DA ESTIMULAÇÃO ELÉCTRICA FUNCIONAL NA MARCHA <i>Cátia Galvão, Carlos Vasconcelos, Jorge Martins, Miguel Silva, Paulo Melo</i>	451
CONTROL OF A FORCE SENSING ACTUATOR TO ASSIST THE ANKLE JOINT MOVEMENT <i>Carlos F. Vasconcelos, Paulo L. Melo, Jorge M. Martins and Miguel T. Silva</i>	457
ANÁLISE CINEMÁTICA DO PUTTING EM JOGADORES PERITOS: ESTUDO DO EFEITO DO AFASTAMENTO DA BOLA AO BURACO <i>Gonçalo Dias, Rui Mendes, Maria António Castro, Micael Conceiro, Orlando Fernandes, João Paulo Vilas-Boas</i>	463
PLATAFORMA ELECTROMECASTRÓNICA PARA EXERCÍCIOS FISIOTERAPÊUTICOS DE ELEVADA PRECISÃO <i>Ana L. G. Fernandes¹, Fernando J. T. E. Ferreira e Miguel Couceiro</i>	467
AVALIAÇÃO DO EFEITO DO EXERCÍCIO INTENSO NA ESTRUTURA E ARQUITECTURA DE VÁRIOS MÚSCULOS DA PERNA ATRAVÉS DE TENSORES DE DIFUSÃO EM RESSONÂNCIA MAGNÉTICA <i>Sérgio Saraiva Alves, Ana Rita Justo Pereira, José Nuno Alves, Filipa João, Mário Forjaz Secca e António Veloso</i>	471
GESTURE'S NARRATIVE IN CONTEMPORARY MUSIC FOR PERCUSSION: A PRELIMINARY RESEARCH. <i>Aroso N., Baltazar A., Lourenço S., Martins L.G., Ferreira Lopes P.</i>	475
OPTIMIZAÇÃO DE FORMA MULTI-OBJECTIVO DE UM STENT CORONÁRIO <i>Nelson Ribeiro, João Folgado e Hélder Rodrigues</i>	481
REMODELAÇÃO ÓSSEA DA OMOPLATA APÓS UMA ARTROPLASTIA TOTAL DO OMBRO <i>Carlos Quental, João Folgado, Paulo Fernandes e Jacinto Monteiro⁴</i>	487
ANÁLISE DO ÂNGULO DE PENACÃO DO GASTROCNÉMIO NUMA POPULAÇÃO JOVEM SEDENTÁRIA E ATIVA. <i>Maria António Castro, Alexandra André, Margarida Pocinbo, Paula Tavares, Orlando Fernandes</i>	491
INFLUÊNCIA DA POSIÇÃO DO ATLETA NA BICICLETA NA DISTRIBUIÇÃO DO PESO CORPORAL PELO SELIM E PELO GUIADOR EM CICLISTAS NÃO COMPETITIVOS <i>Vitor Milbeiro; Hugo Louro; Marco Branco; Ana Conceição</i>	497
FIBER OPTIC SENSORS FOR BIOMECHANICAL AND BIOMEDICAL APPLICATIONS <i>Paulo Roriz, Orlando Frazão, José Luís Santos and José Simões</i>	503
IS THE CALLUS SHAPE AN OPTIMAL RESPONSE TO A MECHANOBIOLOGICAL STIMULUS? <i>F. Ribeiro, P.R. Fernandes, J. Folgado, J.M. García-Aznar</i>	509
MARCHA DO OBESO: RESULTADOS DA AVALIAÇÃO DAS FORÇAS DE REACÇÃO DO SOLO ANTES E APÓS CIRURGIA BARIÁTRICA. <i>Mafalda Cortez, Marcelo P. Castro, Sofia Abreu, Maria João Matos, Paula Freitas, Davide Carvalho, Leandro Machado</i>	515
DESENVOLVIMENTO DE CORDAS BIODEGRADÁVEIS EM PDO PARA REGENERAÇÃO DE LIGAMENTOS <i>André C. Vieira, Joana C. Vieira, Juliana Cruz, Raul Figueiro e Rui M. Guedes</i>	517
DETERMINAÇÃO DA PERMEABILIDADE DE SCAFFOLDS PARA ENGENHARIA DO TECIDO ÓSSEO UTILIZANDO DFC <i>Rubina Marques, Marta Dias, José Miranda Guedes e Paulo Fernandes</i>	523

HIDROGÉIS BASEADOS EM ALGINATO PARA A REGENERAÇÃO DE PELE <i>Rúben F. Pereira, Ausenda Mendes e Paulo J. Bártolo</i>	529
THE ELASTIC PROPERTIES OF THE BREAST SKIN <i>Nílza Ramião, Pedro Martins e António Fernandes</i>	535
ANÁLISE DE TENSÕES NO TORNOZELO ANTES E APÓS UMA ARTROPLASTIA TOTAL <i>Daniela Rodrigues, João Folgado e Paulo Fernandes</i>	541
ANÁLISE DAS PROPRIEDADES BIOMECÂNICAS DO PAVIMENTO PÉLVICO E DO FETO <i>M.E.T. Silva, M.P.L. Parente, R.M. Natal Jorge, T. Mascarenbas, A.A. Fernandes</i>	547
NUMERICAL STUDY OF THE FLOW OF A BLOOD ANALOG FLUID IN A BIFURCATION WITH A STENOSIS: PULSATILE FLOW AND ELASTICITY OF THE FLUID <i>S.I.S. Pinto, E.D. Costa, J.B.L.M. Campos, J.M. Miranda</i>	553
DISTRIBUIÇÃO DAS FIBRAS MUSCULARES DO PAVIMENTOS PÉLVICO: COMPARAÇÃO ENTRE TRATOGRAFIA E MODELO DE ELEMENTOS FINITOS <i>Sofia Brandão, Marco Parente, Thuane Roza, Hugo Ferreira, Teresa Mascarenbas, Isabel Ramos, Renato Natal Jorge</i>	559
INFLUÊNCIA DA IDADE NA MOBILIDADE DO PAVIMENTO PÉLVICO EM MULHERES COM INCONTINÊNCIA URINÁRIA DE ESFORÇO <i>Thuane Da Roza, Sofia Brandão, Teresa Mascarenbas, José Alberto Duarte, Marco Parente e Renato Natal Jorge</i>	565
COMPORTAMENTO BIOMECÂNICO DO PÉ TRAUMÁTICO PRÉ E PÓS ORTÓTESE PLANTAR <i>Rodrigues, F., Ramos, A., Duarte, R. J., Relvas, C., Completo, A., Simões, J. A.</i>	569
PRODUÇÃO DE MEMBRANAS DE ALGINATO DE SÓDIO CONTENDO LEVODOPA E SUA LIBERTAÇÃO CONTROLADA <i>Margarida Franco, Tânia Viana, Sara Biscaia e Paulo Bártolo</i>	571
SIMULAÇÃO NUMÉRICA DOS DANOS NOS MÚSCULOS DO PAVIMENTO PÉLVICO DURANTE UM PARTO VAGINAL <i>P. Maia, M.P.L. Parente, R.M. Natal Jorge, A.A. Fernandes</i>	577
FEMORAL NECK BONE ADAPTATION TO HABITUAL WEIGHT-BEARING PHYSICAL ACTIVITY BY COMPUTATIONAL ANALYSIS <i>M. M. Machado, P. R. Fernandes, G. Cardadeiro and F. Baptista</i>	581
DISPOSITIVO MECÂNICO PARA A PRÁTICA DE CICLISMO ADAPTADO COM COMPETIÇÃO EM CLASSE C2 <i>L. Roseiro, P. Ferreira, V. Lopes, I. Costa, J. Almeida e T. Pinão</i>	587
INFLUÊNCIA DA GEOMETRIA DO PARAFUSO NA TRANSFERÊNCIA DE CARGA NA PRÓTESE TMJ, ESTUDO NUMÉRICO <i>Ramos, A., Mesnard, M., Relvas, C., Completo, A., Simões, J. A.</i>	591
AVALIAÇÃO DA RESISTÊNCIA ENTRE ESTRUTURAS DE ZIRCONIA DE 3 MARCAS: VITA IN-CERAM YZ, SIRONA INCORIS ZI E IVOCLAR IPS EMPRESS CAD <i>Gonçalo Silva, Lúcia Carvalho</i>	597
ESTUDO MECÂNICO DE NANOCOMPÓSITOS PLA/GNP E COMPÓSITOS PLA/BIOVIDRO PARA DESENVOLVIMENTO DE DISPOSITIVO LIGAMENTAR <i>Viviana Correia Pinto, José Xavier, Artur Pinto, Fernão D. Magalhães, Rui Miranda Guedes</i>	601
MODELOS CONSTITUTIVOS HIPERELÁSTICOS PARA A MODELAÇÃO NUMÉRICA DO TECIDO MUSCULAR DO PAVIMENTO PÉLVICO <i>Dulce A. Oliveira, Marco P.L. Parente e Renato M. Natal Jorge</i>	607

METODOLOGIA PARA DETERMINAÇÃO DA ELEVAÇÃO DA TEMPERATURA POR CIMENTAÇÃO OU FURAÇÃO NUM MODELO DENTÁRIO <i>Kelly Magalhães, Elza M. M. Fonseca e Diana C. A. Monteiro</i>	613
SIMULAÇÃO NUMÉRICA DE ESTRUTURAS ÓSSEAS UTILIZANDO UMA FORMULAÇÃO ISOGEOMÉTRICA <i>R.P. Tavares, M.P.L. Parente, R.M. Natal Jorge, A.A. Fernandes</i>	619
DISTINÇÃO ENTRE INCIDÊNCIAS NUMA MAMOGRAFIA <i>Rita Filipa S. Teixeira e João Manuel R. S. Tavares</i>	62
DESENVOLVIMENTO DE UM SISTEMA DE ORIENTAÇÃO DINÂMICA PARA UM ACTUADOR FLUÍDICO FLEXÍVEL <i>Daniel Pina, Joaquim G. Mendes, Renato N. Jorge, António Augusto Fernandes, António Moreira</i>	631
ANÁLISE DA PRESSÃO PLANTAR EM ATLETAS (8-14 ANOS) EM FUNÇÃO DA CLASSE OCLUSAL MOLAR DE ANGLE <i>Marta América, Janete Leiras, Joaquim Moreira, Lídia Carvalho</i>	637
ANÁLISE BIOMECÂNICA DO PROTOCOLO – SALTO COM CONTRA MOVIMENTO <i>Paulo A. G. Piloto, Luísa M. S. Barreira</i>	643
ESTUDO DA INFLUÊNCIA DO POSICIONAMENTO DA BICICLETA NAS VIBRAÇÕES INDUZIDAS AO CORPO HUMANO EM PRÁTICA DE CICLISMO INDOOR <i>Paulo Dechichi, Leandro Furtado, Carlos Alcobia, Luís Roseiro e Ana Amaro</i>	649
TERMOGRAFIA INFRAVERMELHA EM ARTROPLASTIAS DO JOELHO <i>Carlos Alcobia, Luís Roseiro, Pedro Carbais, Augusta Neto</i>	655
ESTUDO NUMÉRICO DA INFLUÊNCIA DA RESOLUÇÃO DA TAC NO COMPORTAMENTO DO ÚMERO. UM CASO CLÍNICO. <i>Bola, M., Ramos, A., Rebas, C., Completo, A., Simões J.A.</i>	659
ANÁLISE VASCULAR DE SCAFFOLDS SOB DEGRADAÇÃO <i>Susana R. Almeida, Henrique A. Almeida e Paulo J. Bártolo</i>	665
DESENVOLVIMENTO DE UMA FERRAMENTA INTEGRADA PARA AVALIAÇÕES ERGONÓMICAS <i>Ana Catarina Mateus, Henrique A. Almeida e Nuno Alves</i>	669
APLICAÇÃO COMPUTACIONAL PARA AUXÍLIO À SELEÇÃO DE PRÓTESE PARA A ARTROPLASTIA DA ANCA <i>Pedro Carreira, Henrique A. Almeida e Paulo J. Bártolo</i>	675
TÉCNICAS DE EXTRUSÃO PARA PRODUÇÃO DE SCAFFOLDS PARA APLICAÇÕES EM ENGENHARIA DE TECIDOS <i>Sara Biscaia, Tânia Viana, Henrique A. Almeida e Paulo J. Bártolo</i>	681
3D COMPARISON BETWEEN MIMICS AND INVESALIOUS BONE RECONSTRUCTION MODELS <i>Ruba Zeibak, Dino Freitas, Henrique A. Almeida and Paulo J. Bártolo</i>	683
DEVELOPMENT OF A WALKING INTEGRATIVE REHABILITATION DEVICE <i>Manabu Okui, Dino Freitas, Henrique A. Almeida and Paulo J. Bártolo</i>	689
ANÁLISE ELETROMIOGRÁFICA TEMPORAL DOS MÚSCULOS DO TRONCO DURANTE O SWING COM DIFERENTES TACOS DE GOLFE <i>Luís Silva, Sérgio Marta, João Vaz, Orlando Fernandes, Maria António Castro, Andreia De Paula, Pedro Pezarat-Correia</i>	695
EXTRAÇÃO E CARACTERIZAÇÃO DO COLAGÉNIO DE ESCAMAS DE SARDINHA <i>Ermelinda Alves Almeida, Daniela C. Vaz e Ausenda L. A. Mendes</i>	701

REABILITAÇÃO VESTIBULAR EM SÍNDROMES VERTIGINOSAS ATRAVÉS DE SIMULAÇÃO EM ELEMENTOS FINITOS <i>Carla Santos, Fernanda Gentil, Carolina Garbe, Marco Parente, Renato Natal Jorge</i>	707
INFLUÊNCIA DAS FLANGES NAS PRÓTESES CIMENTADAS DA ARTICULAÇÃO DA ANCA <i>Ángela Pedrosa e Rui B. Ruben</i>	713
ANÁLISE DINÂMICA DO COMPORTAMENTO MECÂNICO DO OUVIDO MÉDIO COM PRÓTESE TOTAL <i>Fernanda Gentil, Marco Marques, Carolina Garbe, Carla Santos, Marco Parente, Pedro Martins, Renato Jorge</i>	719
CONTRIBUIÇÃO DOS MOMENTOS DE FORÇA DOS MEMBROS INFERIORES PARA A ACELERAÇÃO DO CENTRO DE MASSA NA PARTIDA DE BLOCOS <i>Sílvia Cabral, Vera Moniz-Pereira, Filipa João e António P. Veloso</i>	723
LIPOTOOL: ESTUDO DO COMPORTAMENTO DINÂMICO TECIDULAR <i>T. F. Andrade, M. T. Restivo, M. R. Quintas, M. F. Chouzal, C. M. Silva, T. M. Amaral</i>	729
ANALYSIS OF THE BILATERAL COORDINATION PATTERNS OF LOWER LIMB SEGMENTS AT DOWN SYNDROME IN RUNNING <i>Andreas Skiadopoulos, Carlos Espino Palma and Kostas Gianikellis</i>	733
3D KINEMATICS OF SURGEONS' UPPER-ARM ROTATION IN LAPAROSCOPY <i>Andreas Skiadopoulos, Carlos Espino Palma and Kostas Gianikellis</i>	737
"DINAMSOFT 1.0": A SOFTWARE FOR 3D BIOMECHANICAL ANALYSIS OF STANDARD FORCE TRAINING EXERCISES AND WEIGHT LIFTING <i>Kostas Gianikellis, Andreas Skiadopoulos, Jorge Barrios Muriel and Ignacio Domínguez</i>	741
CIMENTO ÓSSEO ACRÍLICO CONTENDO ANTIBIÓTICOS: AVALIAÇÃO DE PROPRIEDADES MECÂNICAS <i>Matos A, Vaz M., Almeida AJ, Bettencourt A</i>	745
ESTIMATING LEG MUSCLES SHORT-RANGE STIFFNESS IN VIVO AT DIFFERENT KNEE ANGLES <i>Ana C. V. Ferreira, Erwin de Vlugt, Jurriaan H. de Groot and Hugo A. Ferreira</i>	751
ANÁLISE DO MOVIMENTO DE LEVANTAR: ESTUDO DE CASO <i>Rita Proença, Clara Cavalcanti</i>	757
DESENVOLVIMENTO DE UMA CADEIRA DE RODAS MOTORIZADA DE BAIXO CUSTO <i>Samuel F. Do Nascimento, Keyll Carlos R. Martins, Vítor R. P. Santos e Lídia Santos P. Martins</i>	763
INFLUENCE OF RESTORATIVE TECHNIQUE ON THE FRACTURE RESISTANCE AND MODE, STRAIN, AND STRESS DISTRIBUTION OF ENDODONTICALLY TREATED MAXILLARY PREMOLARS. <i>Milito, Giovana A., Novais, Veridiana R., Noritomi, Pedro Y., Araújo, Cleudmar A., Gomide, Henner A., Fernandes Net, Alfredo J., Soares, Carlos J., Soares, Paulo V.</i>	769
INFLUENCE OF RESTORATIVE TECHNIQUE, CERVICAL LESION AND TYPE OF LOAD ON THE BIOMECHANICAL BEHAVIOR OF ENDODONTICALLY TREATED MAXILLARY PREMOLARS <i>Machado, Alexandre C., Pereira, Fabrícia A., Reis, Bruno R., Milito, Giovana A., Zeola, Lívia F., Meira, Josete B.C., Cesar, Paulo F., Soares, Paulo V.</i>	775
INFLUENCE OF NON-CARIOUS CERVICAL LESIONS MORPHOLOGY LOAD TYPE AND RESTORATION ON BIOMECHANICAL BEHAVIOR OF MAXILLARY PREMOLARS: A FINITE ELEMENT ANALYSIS. <i>Vilela, Ana L.R, Machado, Alexandre C., Milito, Giovana A., Zeola, Lívia F., Faria, Vítor L.G., Naves, Marina F.L., Souza, Paola G., Soares, Paulo V.</i>	781

NON-CARIOUS CERVICAL LESIONS: INFLUENCE OF MORPHOLOGY AND LOAD TYPE ON BIOMECHANICAL BEHAVIOUR OF MAXILLARY INCISORS <i>Tolentino, Andrea B., Faria, Vitor L.G., Naves, Marina F.L., Michael, Jason A., Ranjitkar, Sarbin, Kaidonis, John, Townsend, Grant and Soares, Paulo V.</i>	787
INFLUENCE OF DENTAL CORONARY STRUCTURE REDUCTION ON BIOMECHANICAL BEHAVIOR OF UPPER PREMOLARS <i>Zeola, Livia F. , Santos-Filbo, Paulo C.F., Menezes, Murilo S., Novais, Veridiana R., Neves, Flávio D., Fernandes-Neto, Alfredo J., Soares, Carlos J., Soares, Paulo V.</i>	793
INFLUENCE OF ABFRACTION DEPTH, ROOT MORPHOLOGY AND LOADING ON THE MECHANICAL BEHAVIOR OF PREMOLARS <i>Naves, Marina F.L., Souza, Lorraine V., Pereira, Fabricia A., Reis, Bruno R., Machado, Alexandre C., Milito, Giovana A., Fernandes-Neto, Alfredo J., Soares, Paulo V.</i>	799
EFFECTS OF NCCL LESION SIZE AND LOADING CONDITIONS ON STRESSES AND STRAINS IN PREMOLAR TEETH <i>Souza, Paola G., Spini, Pedro H.R., Zeola, Livia F., Milito, Giovana A., Faria, Vitor L.G., Machado, Alexandre C., Pereira, Fabricia A., Soares, Paulo V.</i>	805
EFFECT OF NON-CARIOUS CERVICAL LESIONS AND CORONARY STRUCTURE LOSS ASSOCIATION ON BIOMECHANICAL BEHAVIOR OF MAXILLARY PREMOLARS. <i>Gonzaga, Ramon C.Q., Souza, Paola G., Tolentino, Andrea B., Zeola, Livia F., Milito, Giovana A., Machado, Alexandre C., Reis, Bruno R., Soares, Paulo V.</i>	811
INFLUENCE OF TYPE PREPARATION AND RESTORATIVE MATERIAL ON STRESS DISTRIBUTION IN PREMOLARS <i>Faria, Vitor L.G., Reis, Bruno R., Pereira, Fabricia A., Meira, Josete B.C., Souza, Paola G., Machado, Alexandre C., Quagliatto, Paulo S., Soares, Paulo V.</i>	817
MECHANICAL BEHAVIOUR OF THE PIP BREAST IMPLANTS UNDER COMPRESSION <i>Rita Rynkevici, Pedro Martins, Marco Parente, Maria Barroso, Diana Santos, Renato Natal</i>	823
ANÁLISE DO CAMPO DE DEFORMAÇÕES NOS LIGAMENTOS CRUZADOS DO JOELHO COM FORMULAÇÃO ISOGEOMÉTRICA <i>J.P.S. Ferreira, M.P.L. Parente, R.M. Natal Jorge e A.A. Fernandes</i>	829
ESTUDO BIOMECÂNICO DO ÚTERO DURANTE O PARTO <i>P. Rocha, M.P.L. Parente, R.M. Natal Jorge e T. Mascarenhas</i>	835
INFLUENCE ROOT MORPHOLOGY ON BIOMECHANICAL BEHAVIOR OF ENDODONTICALLY TREATED MAXILLARY PREMOLARS <i>P.V. Soares, M.S. Menezes, P.C.F. Santos-Filbo, P. Noritomi, C.J. Soares, A.J. Fernandes-Neto, L.R.M. Martins</i>	839
ON THE DEVELOPMENT OF ADVANCED METHODOLOGIES TO ASSIST ON THE DIAGNOSIS OF HUMAN ARTICULATIONS PATHOLOGIES: A BIOMECHANICAL APPROACH <i>Ana Leal, Filipe Silva, Paulo Flores, Hélder Pereira, João Espregueira-Mendes</i>	845
A PERSPECTIVE ON BONE-CEMENT INTERFACE LOOSENING IN HIP IMPLANTS <i>Natacha Rosa, António Torres Marques</i>	851

METODOLOGIA PARA DETERMINAÇÃO DA ELEVAÇÃO DA TEMPERATURA POR CIMENTAÇÃO OU FURAÇÃO NUM MODELO DENTÁRIO

Kelly Magalhães¹, Elza M. M. Fonseca² e Diana C. A. Monteiro³

¹ Mestrado Tecnologia Biomédica, Instituto Politécnico de Bragança, Portugal; kellymagalhaes@hotmail.com

² Departamento de Mecânica Aplicada, Instituto Politécnico de Bragança, Portugal; efonseca@ipb.pt

³ Engenharia Biomédica, Instituto Politécnico de Bragança, Portugal; dianinha.monteiro@hotmail.com

PALAVRAS CHAVE: Implante, Cimento ósseo, Furação, Temperatura

RESUMO: Neste trabalho apresenta-se uma metodologia a ser utilizada para determinação das temperaturas provocadas pela cimentação óssea ou pela furação, aquando da colocação de um implante dentário. A análise dos resultados será efetuada com o recurso à técnica de elementos finitos utilizando um modelo térmico idealizado em regime transiente. Os resultados numéricos permitirão identificar as lesões no osso adjacente por elevação da temperatura provocada pelo processo de polimerização do cimento ou pelo calor libertado na furação.

1 INTRODUÇÃO

Os implantes dentários podem ter morfologias diversas, mas o mais estudado é o parafuso de titânio que perfura a parte cortical externa da mandíbula ou maxila até ao osso trabecular interior [1]. Os implantes têm geralmente 3,3 a 6mm de diâmetro e entre 7 a 20mm de comprimento [1]. Os implantes podem ser aparafusados ou cimentados, sendo que diversos autores têm abordado este assunto no sentido de verificar vantagens versus desvantagens na utilização de cada metodologia, [2].

O cimento ósseo (polymethylmethacrylate – PMMA) é largamente utilizado em cirurgia ortopédica nomeadamente na fixação de próteses, [3]. A polimerização do cimento é uma reação exotérmica durante a qual o calor gerado pode atingir valores compreendidos entre 40-110°C. O calor excessivo libertado pode provocar lesões no osso adjacente ou necrose térmica [3, 4]. Em implantes dentários estes valores são relativamente baixos [4]. Alguns autores têm efetuado trabalhos experimentais para registo das temperaturas alcançadas no

processo de polimerização de resinas utilizáveis em restaurações dentárias, [4]. Há trabalhos que demonstram que quando é aplicado calor num dente intacto, pode ocorrer um aumento de temperatura entre 5,6°C a 11,2°C na polpa causando perda de vitalidade, sendo que um aumento de temperatura na ordem de 16,8°C pode levar à irreversibilidade da polpa por necrose, [4]. Durante o processo de polimerização, o cimento pode também sofrer alterações volumétricas [3]. Essas alterações produzem tensões em regime transiente resultando em tensões residuais [3]. A técnica cirúrgica de furação, utilizada para a colocação de implantes dentários, também poderá provocar lesões ósseas, através do aquecimento aos tecidos adjacentes. Alguns trabalhos publicados demonstram que o aquecimento ósseo acima de 47°C num minuto, ou 55°C num período superior a trinta segundos provoca sérias lesões no tecido ósseo [5, 6]. O principal objetivo deste trabalho é obter diferentes modelos dentários através da utilização do método

de elementos finitos para a análise da elevação da temperatura. Será efetuada a comparação entre modelos cimentados e modelos com furação, considerando a influência da espessura do osso cortical.

2 MODELOS DE ELEMENTOS FINITOS

A figura 1 representa dois dos modelos dentários com o implante e com a furação.

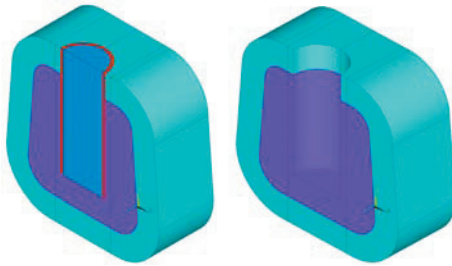


Fig. 1. Modelos numéricos idealizados.

A tabela 1 representa as propriedades térmicas utilizadas na análise numérica.

Tabela 1 - Propriedades térmicas, [1, 3, 6].

Material	Massa específica	Condutividade	Calor específico
Cortical	2100 kg/m ³	0,4 W/mK	1260 J/kgK
Trabecular	1100 kg/m ³	0,5 W/mK	1490 J/kgK
PMMA	1100 kg/m ³	0,2 W/mK	2000 J/kgK
Titânio	4540 kg/m ³	22,4 W/mK	523 J/kgK

Os modelos a serem estudados estão representados na tabela 2.

Tabela 2 - Modelos para análise.

Casos	Espessura cortical	Metodologia
M1	2 mm	PMMA (0,25 mm), Ti
M2		PMMA (0,5 mm), Ti
M3		Furação
M4	1 mm	PMMA (0,25 mm), Ti
M5		PMMA (0,5 mm), Ti
M6		Furação

A espessura do cimento assume valores entre 0,25 e 0,5mm, não sendo fácil, no entanto, controlar clinicamente este valor.

Na figura 2 encontram-se definidas as diferentes malhas de elementos finitos de todos os modelos. É utilizado um elemento finito sólido para análise térmica através do programa Ansys.

A análise térmica será efetuada em regime transiente, encontrando-se os modelos com uma temperatura inicial de 37°C.

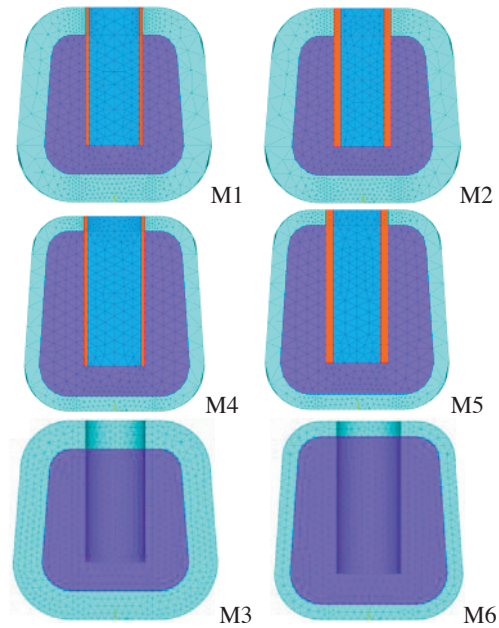


Fig. 2. Malhas de elementos finitos.

Atendendo às características do cimento, a libertação do calor durante o processo de cura, é função de curvas típicas conforme referido por diferentes autores [4, 7]. Nos modelos em estudo com implante (M1, M2, M4 e M5) a polimerização do cimento segue uma curva característica conforme apresentada na figura 3.

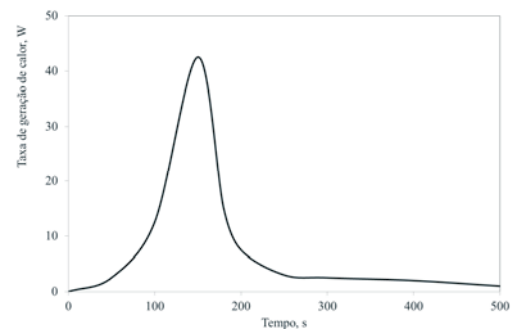


Fig. 3. Taxa de geração de calor do PMMA, [7].

Nos modelos com furação (M3 e M6) consideram-se as características da broca representadas na tabela 3.

Tabela 3 - Parâmetros para a furação, [6].

Diâmetro da broca	$d = 4,1$ mm
Comprimento da broca	$l = 10$ mm
Velocidade de avanço	$V_f = 50$ mm/min
Velocidade de rotação	$n = 750$ rpm
Momento torsor	$M_w = 12,5 \times 10^{-3}$ Nm
Força de corte axial	$F_{fv} = 37,5$ N

Com base nas características da broca é calculado o fluxo de calor a impor como

condição térmica, na zona de furação, com um valor igual a $7,14\text{kW/m}^2$ [6].

3 APRESENTAÇÃO DOS RESULTADOS

Para a apresentação dos resultados foram consideradas 6 posições nodais localizadas à mesma distância nos diferentes modelos em análise. Foram consideradas 3 posições nodais na zona 1, entre a interface do cimento e o tecido ósseo e outras 3 posições à distância de $0,5\text{mm}$, correspondente à zona 2. Em cada uma das referidas zonas considera-se um ponto para a análise na zona cortical (1C, 2C), intermédia (1I, 2I) e trabecular (1T, 2T). Os resultados dos campos de temperatura nos modelos com implante, e para as 6 posições nodais, estão representados nas figuras 4 e 5.

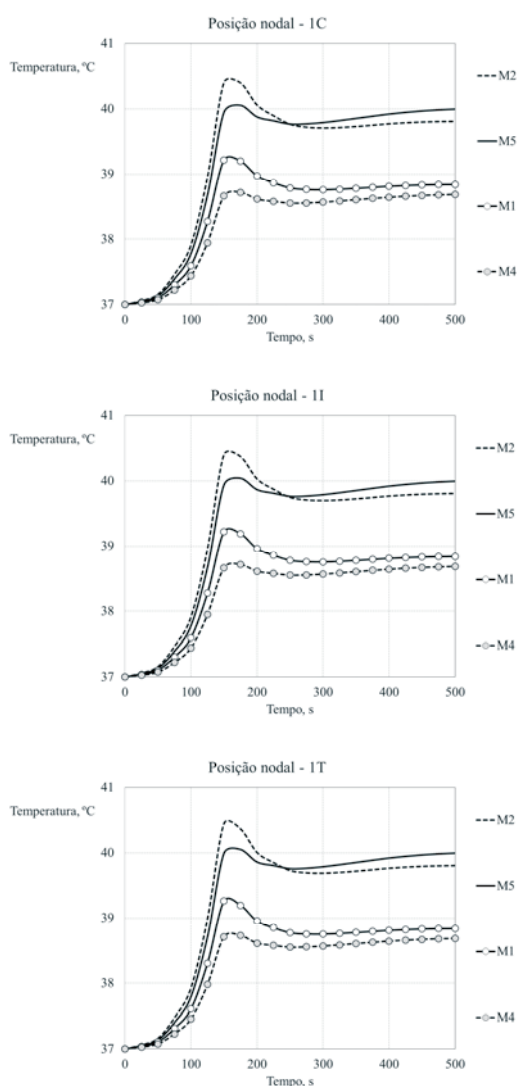


Fig. 4. Temperaturas obtidas na zona 1.

Na zona 1 verifica-se que o modelo M2 é o que apresenta um maior incremento de temperatura, seguido do M5, M1 e M4. Nesta zona o campo de temperaturas é semelhante em qualquer posição nodal do tecido ósseo (1C, 1I, 1T).

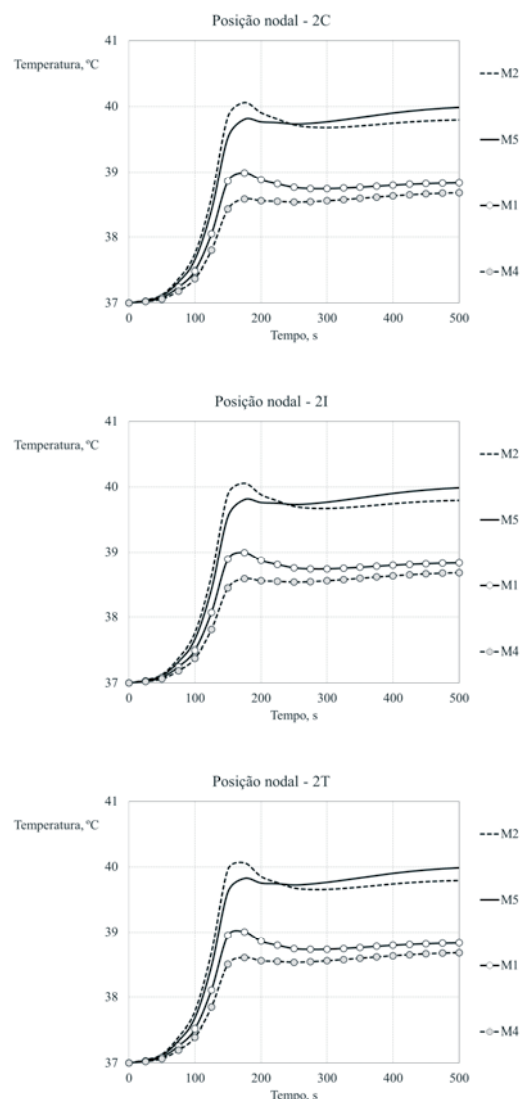


Fig. 5. Temperaturas obtidas na zona 2.

Na zona 2 os campos de temperaturas mantêm a mesma tendência da verificada na zona 1, mas com um aquecimento ligeiramente inferior na estrutura óssea.

As temperaturas obtidas refletem a curva de calor do PMMA introduzida no modelo numérico.

De acordo com algumas referências [4], as temperaturas obtidas no tecido ósseo durante o processo de polimerização do cimento não atingem valores elevados e têm

um comportamento idêntico aos obtidos nos modelos numéricos em análise.

Os perfis de temperaturas obtidos no pico da polimerização do cimento ($t=175s$) são representados na figura 7. Os modelos encontram-se todos definidos no intervalo de temperaturas entre $37^{\circ}C$ e $40.5^{\circ}C$, não ultrapassando o limite de temperatura que pode originar lesão óssea nos tecidos.

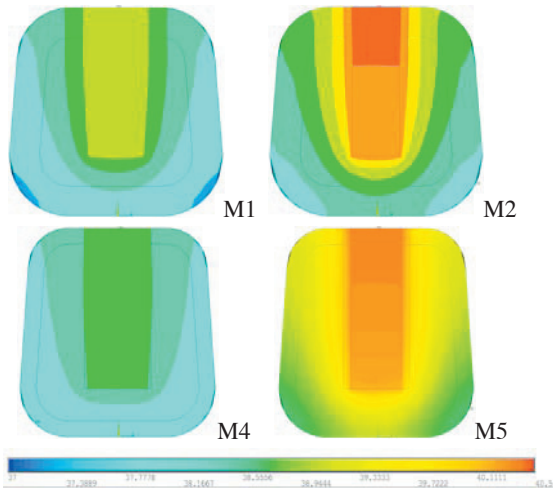


Fig. 7. Temperaturas durante a polimerização a 175s.

O modelo com o maior aumento de temperatura é o M2, possui uma maior espessura cortical e espessura de cimento. O modelo que menos sobreaquecimento apresenta é o M4 por possuir menor espessura de cimento e zona cortical.

Para os modelos com furação, os campos de temperatura obtidos nas 6 posições nodais, encontram-se representados na figura 8.

Nestes modelos o aumento da temperatura é elevado, sendo que na zona 1 o tecido ósseo a partir de 7s regista valores superiores a $55^{\circ}C$. Na zona 2 os modelos não ultrapassam essa temperatura durante todo o processo de furação. Os modelos M3 e M6 mantêm um comportamento idêntico tanto na zona 1 como na zona 2, não sendo refletida a variação da espessura cortical.

Na figura 9 representam-se as temperaturas registadas no final da furação ($t=10s$) para os modelos M3 e M6. A zona cinza representada nos modelos identifica o aumento de temperatura acima de $55^{\circ}C$, [6].

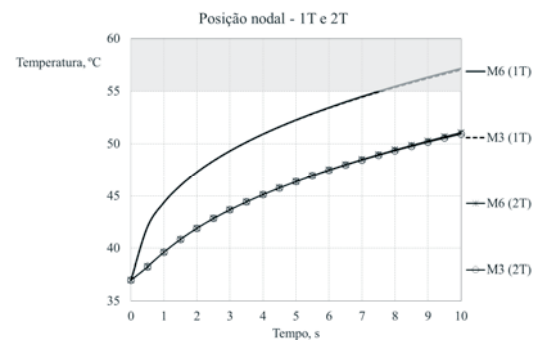
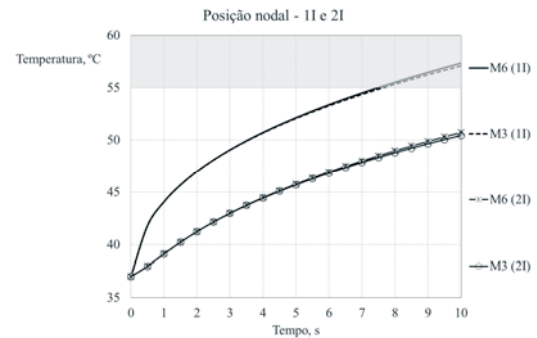
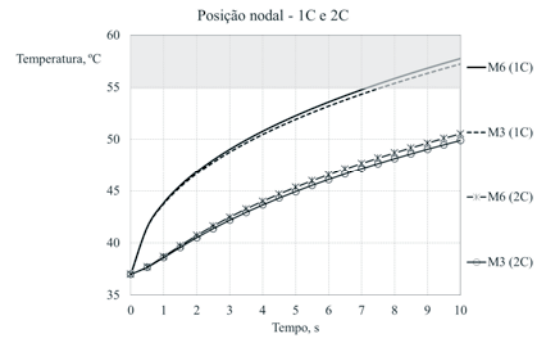


Fig. 8. Temperaturas nas zonas 1 e 2.

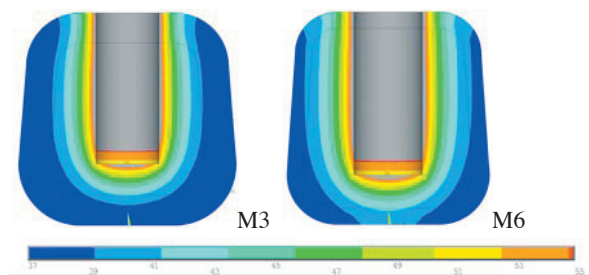


Fig. 9. Temperaturas no final da furação.

Após análise de todos os modelos verifica-se que a elevação da temperatura nos casos com cimento é aproximadamente $2^{\circ}C$ a $3^{\circ}C$, entre o valor de temperatura inicial e a libertada no pico da polimerização. Nos casos com furação e sem irrigação o intervalo é significativo atingindo $13^{\circ}C$ a $20^{\circ}C$.

A tabela 4 apresenta as variações de temperaturas registadas nos diferentes casos, para a zona 1 e 2 em análise.

Tabela 4 – Elevação da temperatura nos modelos.

Casos	Cortical	Metodologia	ΔT Zona 1	ΔT Zona 2
M1	2 mm	PMMA (0,25 mm)	2.1°C	2.0°C
M2		PMMA (0,5 mm)	3.3°C	3.0°C
M3		Furação	20°C	13°C
M4	1 mm	PMMA (0,25 mm)	1.7°C	1.6°C
M5		PMMA (0,5 mm)	3.0°C	2.8°C
M6		Furação	20°C	13°C

4 CONCLUSÕES

Foi apresentada uma metodologia numérica que permite calcular os campos de temperaturas em modelos aproximados sob efeito da polimerização do cimento ou da furação. Os modelos apresentados registam concordância com algumas das referências assinaladas. O processo de cimentação num modelo dentário não provoca qualquer lesão óssea, uma vez que o aumento de temperatura é relativamente baixo. Num processo de furação, e sem qualquer tipo de irrigação, poderá ocorrer lesão óssea pelo aumento significativo da temperatura junto à zona do furo. Em qualquer um dos processos, os parâmetros inerentes à espessura dos tecidos, ao tipo de materiais e à própria técnica utilizada, são importantes na avaliação da temperatura nos tecidos adjacentes.

REFERÊNCIAS

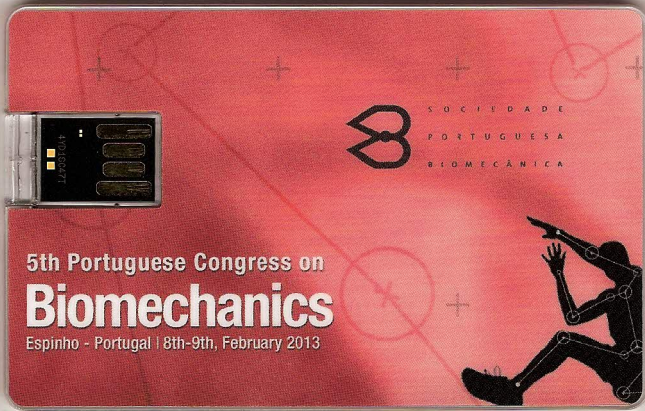
- [1] K. Wong, A. Boyde, P.G.T. Howell, "A model of temperature transients in dental implants", *Biomaterials*, Vol.22, 2795-2797, 2001.
- [2] L.G.A. Mendes, J.H. Rohenkohl, M.O.A. Mendes, "Prótese sobre implantes: cimentada versus parafusada", *Unoesc Ciência ACBS Joaçaba*, Vol.1, 157-164, 2010.
- [3] M.A.Pérez, N. Nuño, A. Madrala, J.M.G. Aznar, M. Doblaré, "Computational modeling of bone cement polymerization: Temperature and residual stresses", *Comp. in Biology and Medicine*, Vol.39, 751-759, 2009.
- [4] C. Lieu, T.M. Nguyen, L. Payant, "In vitro comparison of peak polymerization temperatures of 5 provisional restorations resins", *Journal de l'Association dentaire canadienne*, Vol.67, N°1, 36-39, 2001.
- [5] M.T. Hillery, I. Shuaib, "Temperature effects in the drilling of human and bovine bone", *Journal of Materials Processing Technology*, Vol.92-93, 302-308, 1999.
- [6] E. Fonseca; K. Magalhães, M. Fernandes, M. Barbosa, G. Sousa; "Numerical Model of Thermal Necrosis due a

Dental Drilling Process", *Proceedings II Inter. Conference on Biomedical Engineering*, Portugal, R.M. Natal Jorge et al (Eds), CRC PRESS, Taylor & Francis Group, 2012.

[7] M. Stanczyk, "Study on modeling PMMA bone cement polymerization", *Journal of Biomechanics*, Vol.38, 1397-1403, 2005.

ISBN 978-989-96276-3-5





5th Portuguese Congress on
Biomechanics
Espinho - Portugal | 8th-9th, February 2013

B SOCIEDADE
PORTUGUESA
BIOMECÂNICA